
PTT/ABS 的相容性、熔融与结晶行为

薛美玲 于永良 王树岭 王安民 文波晋

(青岛科技大学橡塑材料与工程教育部重点实验室，青岛，266042，

Tel: 0532-84022725, E-mail:meilingxue2003@yahoo.com.cn)

关键词：聚对苯二甲酸丙二醇酯 (PTT)，相容性，熔融行为，结晶行为

PTT 是聚对苯二甲酸丙二醇酯的简称，1998 年开始商业化销售，其应用领域涉及纤维、工程塑料、膜等领域。若作为工程塑料应用，PTT 的力学性能类似 PET，加工性能类似 PBT，综合性能优于 PET 和 PBT。最近几年，PTT 引起了广泛的研究兴趣，尤其是在 PTT 纤维的结构与性能、PTT 的熔融与结晶特性等方面报道越来越多^[1-3]，但有关 PTT 合金的研究目前还不多^[4]。本人最近几年一直致力于 PTT 的合金化研究，本文报道 PTT/ABS 合金的相容性、PTT 在合金中的熔融与结晶行为。

PTT/ABS 制备：

采用同向旋转双螺杆挤出机，螺杆转速 144 rpm，混炼温度 250 °C，在同一牵引段截取样条用于 DSC 测试。

结果与讨论：

Fig.1 为 PTT/ABS 的熔融 DSC 曲线，曲线显示 PTT 相的玻璃化转变 (T_g (PTT-rich phase))、冷结晶 (T_{cc} (PTT-rich phase))、熔融(T_m) 以及 ABS 组分中的塑料相的玻璃化转变 (T_g (SAN))。Fig.3 分别为 T_g (PTT-rich phase) 和 T_g (SAN) 随合金组成的变化，随 ABS 含量的增加， T_g (PTT-rich phase) 总体上呈上升趋势；当 PTT 含量为 0-20wt% 时， T_g (SAN) 随 PTT 含量的增加明显降低，之后不再随合金组成而变化，说明当 PTT 含量超过 20wt% 时，PTT 在 ABS 中的溶解度达到最大值。Fig.4 为 T_{cc} (PTT-rich phase) 以及 T_m 随组成的变化 随 ABS

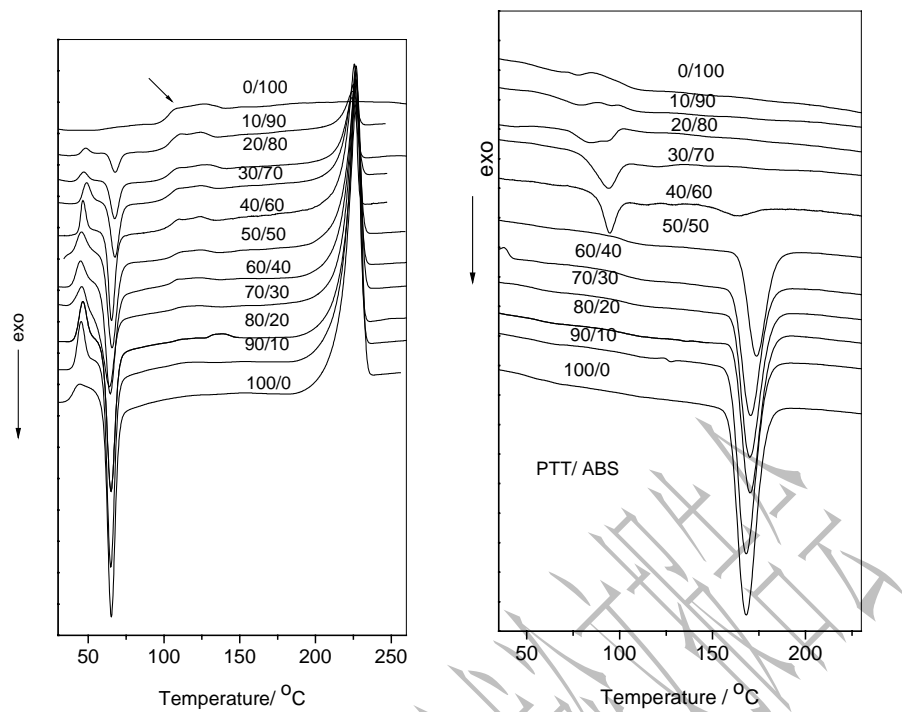


Fig.1 The melting behaviors of PTT/ABS blends. (DSC heating rate, $10^{\circ}\text{C}/\text{min}$)

Fig.2 DSC thermograms of PTT/ABS blends in the cooling process. (the cooling rate, $10^{\circ}\text{C}/\text{min}$).

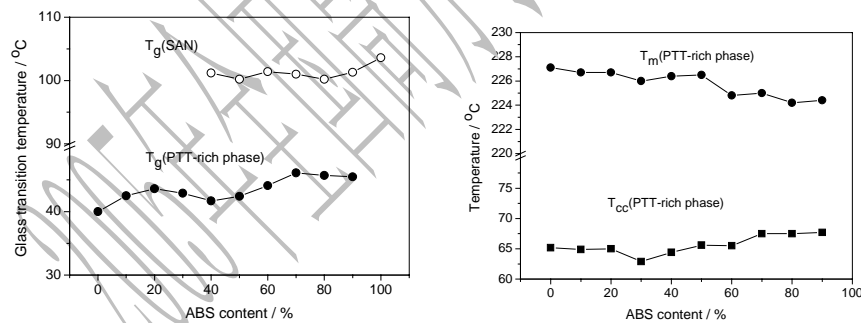


Fig.3 Variations of the T_g (PTT-rich phase)、 T_g (SAN) with PTT/ABS blend composition.

Fig.4 Effect of ABS content on the cold crystallization temperature (T_{cc}) and T_m of the PTT-rich phase.

含量的增加， T_m 略有下降，而 T_{cc} (PTT-rich phase)在 ABS 含量大于 50 wt.% 时，略有上升。这些变化表明 PTT/ABS 为有限的部分相容体系，其相容性的变化与合金组成和相结构有关。

Fig.2 为 PTT/ABS 结晶过程的 DSC 曲线。当 ABS ≤ 40 wt.% 时，

PTT 相的结晶温度 T_c 随 ABS 含量的增加略有增加 (Fig.5), 说明分散相 ABS 几乎不影响 PTT 的结晶过程。但当 ABS 含量达 50 wt.% 时, T_c 明显移向高温, 表明在此组成时 ABS 显著促进了 PTT 的结晶过程。有趣的是, 当 ABS 含量达 60 wt.% 时, PTT 相的结晶行为发生突变, 原有的结晶峰 (160°C 左右) 骤然变小并显著移向低温, 又在 95°C 左右出现一个主结晶峰, 160°C 左右的小结晶峰跨度却较大, 说明在此组成时 PTT-rich 相的结晶过程被严重干扰, 分化成结晶能力相差较大的两大部分, 位于 PTT 相内部的分子或链段受外部 ABS 组分的影响相对外围处的分子或链段而言较小, 因此仍然在 160°C

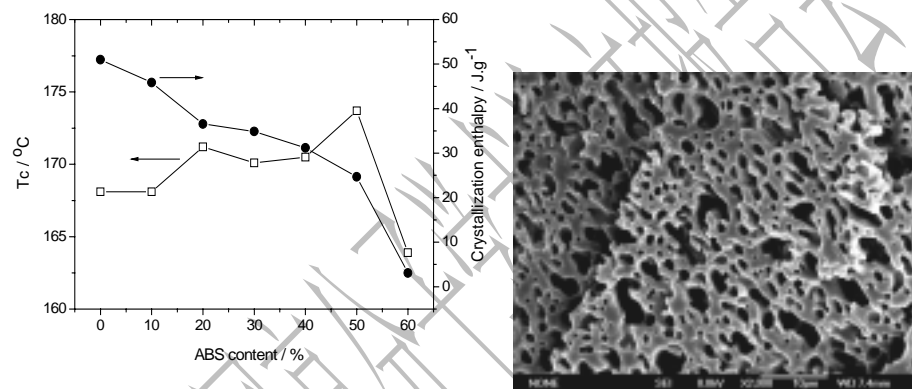


Fig.5 Variations of the T_c (PTT-rich phase) and the crystallization enthalpy with the blend composition.

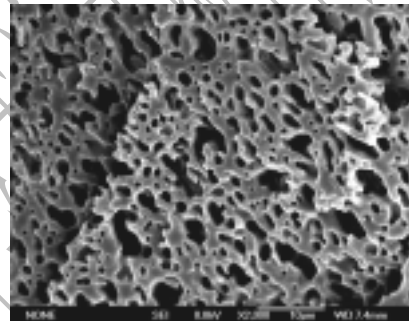


Fig.6 SEM micrograph of PTT/ABS 70/30 (the ABS phase was etched by hot toluene).

处出现一个小的结晶峰, 但这部分 PTT 子或链段在结晶能力上显示出明显的梯度变化, 致使结晶峰跨度较大。而外围处 PTT 分子或链段在此温度区域的结晶过程被完全抑制并一直推迟至 95°C 左右。随 ABS 含量的继续增加, 95°C 左右的结晶峰依次移向低温, 且半峰宽增大, 显示出受抑制程度增大。当 ABS 含量为 90wt% 时, DSC 曲线上不再显示明显的结晶过程。

Fig.6 的 SEM 图像表明 ABS =50~60 wt.% 为合金的相转变点。

PTT 在 PTT/ABS 的相转变点前后所发生的结晶行为突变现象说明 PTT 在 PTT/ABS 中的结晶行为主要受合金相结构的影响, 可能是

ABS 本身的复相结构导致了其作为连续相和分散相时对 PTT 结晶行为的影响差异。目前，此原因正在进一步证实中。

参考文献

1. Wu, J.; Schultz, J. M.; Samon, J. M.; Pangelinan A. B.; Chuah H. H. *Polymer* 2001, **42**, 7161-7170.
2. Chuah, H. H. *Macromolecules* 2001, **34**, 6985-6993.
3. Rong-Ming, H; Kae-Zen, K; Ming, C. *Macromolecules* 2000, **33**, 7529-7537.
4. Mei-Ling Xue, Jing Sheng, Hoe H Chuah, Xiao-Ya Zhang. *Journal of Macromolecular Science, Part B: Polymer Physics*, 2004, **43**: 1045-1061.

Miscibility, Melting and Crystallization Behavior of PTT/ABS Blends

Mei-Ling X, Shu-Ling W, An-Min W, Bo-Jin W, Shu-Gao Z

(Key Lab of Rubber-Plastics, Ministry of Education, Qingdao University of Science and Technology, Qingdao 266042, Tel: 0532-84022725,
E-mail:meilingxue2003@yahoo.com.cn)

The miscibility, melting and crystallization behaviors of PTT/ABS blends were investigated using DSC technique. The results showed that PTT and ABS was a very limited partial miscible pair. With the increasing of ABS content, the cold crystallization temperature of PTT-rich phase shifted slightly to the higher temperature while the melting temperature shifted slightly to the lower temperature. When $\text{ABS} \leq 40\text{wt.\%}$, the crystallization process of PTT-rich phase was hardly interfered by ABS, while when $\text{ABS}=60\text{wt.\%}$, in addition to the crystallization exothermo at about 160°C , a second crystallization exothermo was observed at about 95°C . When $\text{ABS} \geq 70\text{wt.\%}$, the crystallization exothermo at about 160°C disappeared, whereas the crystallization exothermo at about 95°C remained, which exhibited a lower temperature with the increasing of ABS content.